

Química | Física | Ciências Biológicas

UNICAMP
vestibular
2016

Instruções para a realização da prova

- Neste caderno, deverão ser respondidas as questões das provas de **Química** (questões de 1 a 6), de **Física** (questões de 7 a 12) e de **Ciências Biológicas** (questões de 13 a 18).
- **A prova deve ser feita a caneta esferográfica preta. Utilize apenas o espaço reservado (pautado) para a resolução das questões.**
- **Atenção:** nas questões que exigem cálculo, não basta escrever apenas o resultado final. É necessário mostrar a resolução ou o raciocínio utilizado para responder às questões.
- **A duração total da prova é de quatro horas.**

ATENÇÃO

Os rascunhos **não** serão considerados na correção.

UNICAMP VESTIBULAR 2016 – 2ª FASE
QUÍMICA | FÍSICA | CIÊNCIAS BIOLÓGICAS

ORDEM

INSCRIÇÃO

ESCOLA

SALA

LUGAR NA
SALA

NOME

ASSINATURA DO CANDIDATO

COMVEST
Comissão Permanente para os Vestibulares



DECLARAÇÃO DE PRESENÇA

Declaramos para os devidos fins que o candidato abaixo, inscrito no Exame Vestibular Unicamp 2016, compareceu às provas de Química, Física e Ciências Biológicas, realizadas no dia 19 de janeiro de 2016.

Nome:

Documento:

Coordenação de Logística
Comissão Permanente para os Vestibulares da Unicamp

As fórmulas necessárias para a resolução de algumas questões são fornecidas no próprio enunciado – leia com atenção. Quando necessário, use:

$$g = 10 \text{ m/s}^2$$

$$\pi = 3$$

Classificação Periódica dos Elementos Químicos																	
1 H Hidrogênio 1,0079																	2 He Hélio 4,0026
3 Li Lítio 6,941(2)	4 Be Berílio 9,0122											5 B Boro 10,811(5)	6 C Carbono 12,011	7 N Nitrogênio 14,007	8 O Oxigênio 15,999	9 F Fluor 18,998	10 Ne Neônio 20,180
11 Na Sódio 22,990	12 Mg Magnésio 24,305											13 Al Alumínio 26,982	14 Si Silício 28,086	15 P Fósforo 30,974	16 S Enxofre 32,066(6)	17 Cl Cloro 35,453	18 Ar Argônio 39,948
19 K Potássio 39,098	20 Ca Cálcio 40,078(4)	21 Sc Escândio 44,956	22 Ti Titânio 47,867	23 V Vanádio 50,942	24 Cr Cromio 51,996	25 Mn Manganês 54,938	26 Fe Ferro 55,845(2)	27 Co Cobalto 58,933	28 Ni Níquel 58,693	29 Cu Cobre 63,546(3)	30 Zn Zinco 65,39(2)	31 Ga Gálio 69,723	32 Ge Germânio 72,61(2)	33 As Arsênio 74,922	34 Se Selênio 78,96(3)	35 Br Bromo 79,904	36 Kr Criptônio 83,80
37 Rb Rubídio 85,468	38 Sr Estrôncio 87,62	39 Y Ítrio 88,906	40 Zr Zircônio 91,224(2)	41 Nb Nióbio 92,906	42 Mo Molibdênio 95,94	43 Tc Tecnécio 98,906*	44 Ru Rutênio 101,07(2)	45 Rh Ródio 102,91	46 Pd Paládio 106,42	47 Ag Prata 107,87	48 Cd Cádmio 112,41	49 In Índio 114,82	50 Sn Estanho 118,71	51 Sb Antimônio 121,76	52 Te Telúrio 127,60(3)	53 I Iodo 126,90	54 Xe Xenônio 131,29(2)
55 Cs Césio 132,91	56 Ba Bário 137,33	57 a 71 La-Lu	72 Hf Háfnio 178,49(2)	73 Ta Tântalo 180,95	74 W Tungstênio 183,84	75 Re Rênio 186,21	76 Os Ósmio 190,23(3)	77 Ir Iridio 192,22	78 Pt Platina 195,08(3)	79 Au Ouro 196,97	80 Hg Mercúrio 200,59(2)	81 Tl Tálio 204,38	82 Pb Chumbo 207,2	83 Bi Bismuto 208,98	84 Po Polônio 209,98*	85 At Astató 209,99*	86 Rn Radônio 222,02*
87 Fr Frâncio 223,02*	88 Ra Rádio 226,03*	89 a 103 Ac-Lr	104 Rf Rutherfordio 261*	105 Db Dúbnio 262*	106 Sg Seabórgio ---	107 Bh Bohrio ---	108 Hs Hássio ---	109 Mt Meitnério ---									

Número atômico →	25
Símbolo →	Mn
Nome →	Manganês 54,938

Massa atômica relativa. A incerteza no último dígito é ±1, exceto quando indicado entre parêntesis. Os valores com * referem-se ao isótopo mais estável.

57 La Lantânio 138,91	58 Ce Cério 140,12	59 Pr Praseodímio 140,91	60 Nd Neodímio 144,24(3)	61 Pm Promécio 146,2*9	62 Sm Samário 150,36(3)	63 Eu Európio 151,96	64 Gd Gadolínio 157,25(3)	65 Tb Térbio 158,93	66 Dy Disprósio 162,50(3)	67 Ho Hólmio 164,93	68 Er Érbio 167,26(3)	69 Tm Túlio 168,93	70 Yb Ítérbio 173,04(3)	71 Lu Lutécio 174,97
89 Ac Actínio 227,03*	90 Th Tório 232,04*	91 Pa Protactínio 231,04*	92 U Urânio 238,03*	93 Np Netúnio 237,05*	94 Pu Plutônio 239,05*	95 Am Americio 241,06*	96 Cm Cúrio 244,06*	97 Bk Berquélio 249,08*	98 Cf Califórnio 252,08*	99 Es Einstênio 252,08*	100 Fm Férmio 257,10*	101 Md Mendelévio 258,10*	102 No Nobélio 259,10*	103 Lr Laurêncio 262,11

RASCUNHO

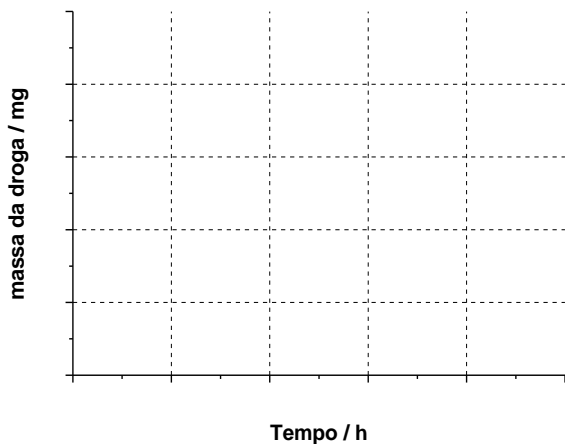
5. A 2,5-dimetoxi-4-bromoanfetamina, DOB, é um potente alucinógeno comercializado dentro de cápsulas, em doses de 1,5 mg. Essa quantidade é tão pequena que a droga é conhecida como “cápsula do vento” ou “cápsula da morte”. A literatura não traz informações sobre valores de dose letal, mas a ingestão de duas cápsulas da droga tem grandes chances de levar o usuário a uma *overdose*.

- a) Se o volume interno da cápsula em que se comercializa a droga é de $1,0 \text{ cm}^3$, quanto vale a relação $m_{\text{DOB}}/m_{\text{ar}}$ no interior da cápsula? Considere desprezível o volume ocupado pelo DOB sólido, considere a pressão interna de 100.000 Pa e a temperatura de 25°C .
- b) Imagine que um indivíduo ingere uma cápsula contendo 1,5 mg de DOB, ao mesmo tempo em que outro indivíduo ingere um comprimido contendo 10 mg de *ecstasy*. Baseando-se apenas no fato de que a meia-vida do DOB no organismo é de 12 horas e a do *ecstasy* é de 1,5 horas (uma hora e meia), **qual dos dois indivíduos teria maior massa do princípio ativo da droga após 12 horas?** Na figura apresentada no espaço para resolução, construa as curvas de decaimento das duas drogas no organismo para justificar sua resposta.

Dados: m_{DOB} (massa de DOB); m_{ar} (massa de ar no interior da cápsula); massa molar do ar = 29 g mol^{-1} , $R = 8,3 \text{ Pa m}^3 \text{ K}^{-1} \text{ mol}^{-1}$, $T/\text{K} = 273 + t/^\circ\text{C}$.

Resolução (será considerado apenas o que estiver dentro deste espaço).

b)



7. Recentemente, a sonda New Horizons tornou-se a primeira espaçonave a sobrevoar Plutão, proporcionando imagens espetaculares desse astro distante.

- a) A sonda saiu da Terra em janeiro de 2006 e chegou a Plutão em julho de 2015. Considere que a sonda percorreu uma distância de 4,5 bilhões de quilômetros nesse percurso e que 1 ano é aproximadamente 3×10^7 s. Calcule a velocidade escalar média da sonda nesse percurso.
- b) A sonda New Horizons foi lançada da Terra pelo veículo espacial Atlas V 511, a partir do Cabo Canaveral. O veículo, com massa total $m = 6 \times 10^5$ kg, foi o objeto mais rápido a ser lançado da Terra para o espaço até o momento. O trabalho realizado pela força resultante para levá-lo do repouso à sua velocidade máxima foi de $\tau = 768 \times 10^{11}$ J. Considerando que a massa total do veículo não variou durante o lançamento, calcule sua velocidade máxima.

Resolução (será considerado apenas o que estiver dentro deste espaço).

8. Plutão é considerado um planeta anão, com massa $M_p = 1 \times 10^{22}$ kg, bem menor que a massa da Terra. O módulo da força gravitacional entre duas massas m_1 e m_2 é dado por $F_g = G \frac{m_1 m_2}{r^2}$, em que r é a distância entre as massas e G é a constante gravitacional. Em situações que envolvem distâncias astronômicas, a unidade de comprimento comumente utilizada é a Unidade Astronômica (UA).

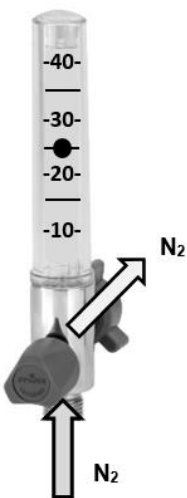
- a) Considere que, durante a sua aproximação a Plutão, a sonda se encontra em uma posição que está $d_p = 0,15$ UA distante do centro de Plutão e $d_T = 30$ UA distante do centro da Terra. Calcule a razão $(\frac{F_{gT}}{F_{gP}})$ entre o módulo da força gravitacional com que a Terra atrai a sonda e o módulo da força gravitacional com que Plutão atrai a sonda. Caso necessário, use a massa da Terra $M_T = 6 \times 10^{24}$ kg.
- b) Suponha que a sonda New Horizons estabeleça uma órbita circular com velocidade escalar orbital constante em torno de Plutão com um raio de $r_p = 1 \times 10^{-4}$ UA. Obtenha o módulo da velocidade orbital nesse caso. Se necessário, use a constante gravitacional $G = 6 \times 10^{-11}$ N.m²/kg². Caso necessário, use 1 UA (Unidade astronômica) = $1,5 \times 10^8$ km.

Resolução (será considerado apenas o que estiver dentro deste espaço).

9. Os reguladores de pressão são acessórios de segurança fundamentais para reduzir a pressão de gases no interior dos cilindros até que se atinja sua pressão de utilização. Cada tipo de gás possui um regulador específico.

- a) Tipicamente, gases podem ser armazenados em cilindros a uma pressão interna de $P_0 = 2,0 \times 10^7$ Pa e ser utilizados com uma pressão de saída do regulador de $P_1 = 1,6 \times 10^7$ Pa. Considere um gás ideal mantido em recipiente fechado a uma temperatura inicial de $T_0 = 300$ K. Calcule a temperatura final T_1 do gás se ele for submetido isovolumetricamente à variação de pressão dada acima.
- b) Quando os gases saem dos reguladores para o circuito de utilização, é comum que o fluxo do gás (definido como sendo o volume do gás que atravessa a tubulação por unidade de tempo) seja monitorado através de um instrumento denominado fluxômetro. Considere um tanque cilíndrico com a área da base igual a $A = 2,0 \text{ m}^2$ que se encontra inicialmente vazio e que será preenchido com gás nitrogênio. Durante o preenchimento, o fluxo de gás que entra no tanque é medido pela posição da esfera sólida preta do fluxômetro, como ilustra a figura abaixo. A escala do fluxômetro é dada em **litros/minuto**. A medida do fluxo de nitrogênio e sua densidade $d = 1,0 \text{ kg/m}^3$ permaneceram constantes durante todo o processo de preenchimento, que durou um intervalo de tempo $\Delta t = 12$ h. Após este intervalo de tempo, a válvula do tanque é fechada com certa quantidade de gás nitrogênio em repouso no seu interior. Calcule a pressão exercida pelo gás na base do tanque. Caso necessário, use $g = 10 \text{ m/s}^2$.

Resolução (será considerado apenas o que estiver dentro deste espaço).



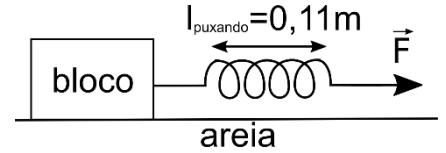
10. O Parque Güell em Barcelona é um dos mais impressionantes parques públicos do mundo e representa uma das obras mais marcantes do arquiteto Antoni Gaudí. Em sua obra, Gaudí utilizou um número imenso de azulejos coloridos.

- a) Considere que, no Parque Güell, existe um número $N = 2 \times 10^6$ de azulejos cujas faces estão perfeitamente perpendiculares à direção da radiação solar quando o sol está a pino na cidade de Barcelona. Nessa situação, a intensidade da radiação solar no local é $I = 1200 \text{ W/m}^2$. Estime a área de um azulejo tipicamente presente em casas e, a partir da área total dos N azulejos, calcule a energia solar que incide sobre esses azulejos durante um tempo $t = 60 \text{ s}$.
- b) Uma das esculturas mais emblemáticas do parque Güell tem a forma de um réptil multicolorido conhecido como *El Drac*, que se converteu em um dos símbolos da cidade de Barcelona. Considere que a escultura absorva, em um dia ensolarado, uma quantidade de calor $Q = 3500 \text{ kJ}$. Considerando que a massa da escultura é $m = 500 \text{ kg}$ e seu calor específico é $c = 700 \text{ J/(kg.K)}$, calcule a variação de temperatura sofrida pela escultura, desprezando as perdas de calor para o ambiente.

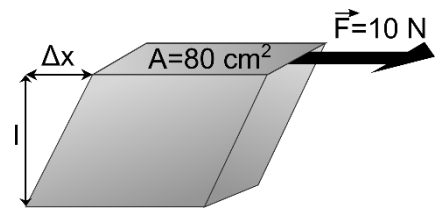
Resolução (será considerado apenas o que estiver dentro deste espaço).

11. Um estudo publicado em 2014 na renomada revista científica *Physical Review Letters* (<http://journals.aps.org/prl/abstract/10.1103/PhysRevLett.112.175502>) descreve como a antiga civilização egípcia reduzia o atrito entre a areia e os trenós que levavam pedras de até algumas toneladas para o local de construção das pirâmides. O artigo demonstrou que a areia na frente do trenó era molhada com a quantidade certa de água para que ficasse mais rígida, diminuindo a força necessária para puxar o trenó. Caso necessário, use $g = 10 \text{ m/s}^2$ para resolver as questões abaixo.

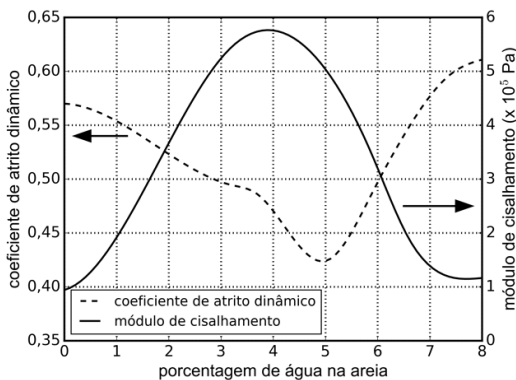
a) Considere que, no experimento realizado pelo estudo citado acima, um bloco de massa $m = 2 \text{ kg}$ foi colocado sobre uma superfície de areia úmida e puxado por uma mola de massa desprezível e constante elástica $k = 840 \text{ N/m}$, com velocidade constante, como indica a figura ao lado. Se a mola em repouso tinha comprimento $l_{\text{repouso}} = 0,10 \text{ m}$, qual é o coeficiente de atrito dinâmico entre o bloco e a areia?



b) Neste experimento, o menor valor de coeficiente de atrito entre a areia e o trenó é obtido com a quantidade de água que torna a areia rígida ao cisalhamento. Esta rigidez pode ser caracterizada pelo seu módulo de cisalhamento, dado por $G = Fl/A\Delta x$, em que F é o módulo da força aplicada tangencialmente a uma superfície de área A de um material de espessura l , e que a deforma por uma distância Δx , como indica a figura ao lado. Considere que a figura representa o experimento realizado para medir G da areia e também o coeficiente de atrito dinâmico entre a areia e o bloco, ambos em função da quantidade de água na areia. O resultado do experimento é mostrado no gráfico apresentado no espaço de resolução abaixo. Com base no experimento descrito, qual é o valor da razão $l/\Delta x$ da medida que resultou no menor coeficiente de atrito dinâmico?



Resolução (será considerado apenas o que estiver dentro deste espaço).



Note que há duas escalas para o eixo das ordenadas, uma para cada curva. A legenda e as setas indicam as escalas de cada curva.

12. Sabe-se atualmente que os prótons e nêutrons não são partículas elementares, mas sim partículas formadas por três *quarks*. Uma das propriedades importantes do *quark* é o sabor, que pode assumir seis tipos diferentes: *top*, *bottom*, *charm*, *strange*, *up* e *down*. Apenas os *quarks up* e *down* estão presentes nos prótons e nos nêutrons. Os *quarks* possuem carga elétrica fracionária. Por exemplo, o *quark up* tem carga elétrica igual a $q_{up} = +2/3 e$ e o *quark down* $q_{down} = -1/3 e$, onde e é o módulo da carga elementar do elétron.

- a) Quais são os três *quarks* que formam os prótons e os nêutrons?
- b) Calcule o módulo da força de atração eletrostática entre um *quark up* e um *quark down* separados por uma distância $d = 0,2 \times 10^{-15}$ m. Caso necessário, use $K = 9 \times 10^9 \text{ Nm}^2/\text{C}^2$ e $e = 1,6 \times 10^{-19} \text{ C}$.

Resolução (será considerado apenas o que estiver dentro deste espaço).

13.

*Procurando bem
Todo mundo tem pereba
Marca de bexiga ou vacina*

*E tem piriri
Tem lombriga, tem ameba
Só a bailarina que não tem*

*Futucando bem
Todo mundo tem piolho
Ou tem cheiro de creolina*

(Edu Lobo e Chico Buarque, *Ciranda da Bailarina.*)

- a) A que filo pertencem os endoparasitas em questão e quais são suas características morfológicas?
- b) O piolho da cabeça pode ser considerado um parasita? Do que ele se alimenta?

Resolução (será considerado apenas o que estiver dentro deste espaço).

14. Mecanismos de controle de pH são fundamentais para a vida. Um mecanismo bastante eficiente de controle de pH por organismos vivos envolve moléculas doadoras eceptoras de prótons, que são ácidos e bases que atuam em conjunto equilibrando alterações de pH às quais os organismos estão sujeitos.

- a) Alterações no pH intracelular afetam a estrutura de proteínas. Por que isso ocorre?
- b) Que consequências para o processo de respiração celular a alteração na estrutura de proteínas envolvidas com o ciclo de Krebs pode trazer?

Resolução (será considerado apenas o que estiver dentro deste espaço).

15. As células apresentam estruturas e funções diferenciadas de acordo com o organismo ou tecido em que se encontram.

- a) Desenhe uma célula que contenha as organelas responsáveis pela respiração celular, pela fotossíntese, pela transcrição do RNA e pela síntese de proteínas.
- b) Descreva a morfologia e indique as funções das estruturas que delimitam a célula desenhada.

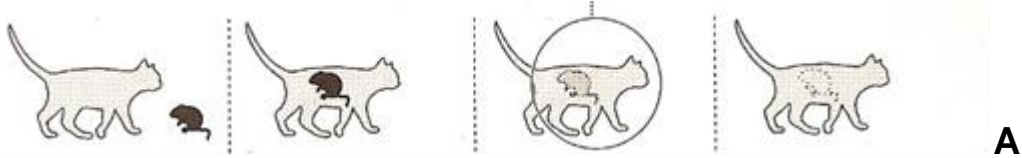
Resolução (será considerado apenas o que estiver dentro deste espaço).

16. *Aedes aegypti* modificados (transgênicos) têm sido utilizados no combate à dengue. Esses mosquitos produzem uma proteína que mata seus descendentes ainda na fase de larva. Mosquitos machos modificados são soltos na natureza para procriar com fêmeas nativas, mas os filhotes resultantes desse cruzamento não sobrevivem. É possível monitorar a presença de ovos resultantes do cruzamento de machos modificados com fêmeas nativas a partir da luz fluorescente emitida pelos ovos.

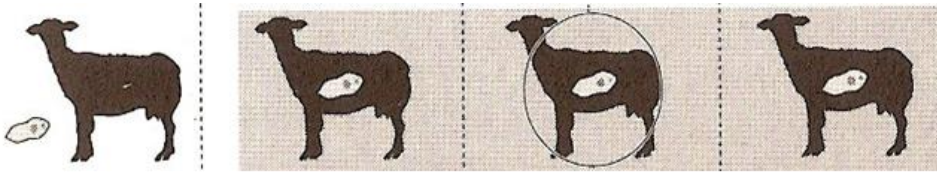
- a) Descreva o princípio da técnica utilizada para produzir os mosquitos modificados.
- b) Por que os ovos resultantes do cruzamento dos machos modificados com fêmeas nativas emitem luz fluorescente? O que é preciso fazer com os ovos para saber se eles emitem luz fluorescente?

Resolução (será considerado apenas o que estiver dentro deste espaço).

17. As figuras abaixo representam interações ecológicas.



A



B

Fonte: Claude Combes, *Les associations du vivant*. Paris: Ed. Flammarion, 2001, p.21.

- a) Pode-se afirmar que as interações ecológicas representadas em A e B são associações? Justifique sua resposta.
- b) Cite duas interações ecológicas harmônicas.

Resolução (será considerado apenas o que estiver dentro deste espaço).

18. Muitas vezes se observa o efeito do vento nas plantas, que faz com que a copa das árvores e eventualmente o caule balancem vigorosamente sem, contudo, se romper. No entanto, quando ocorre a ruptura de um ramo, as plantas têm a capacidade de retomar o crescimento e ocupar novamente o espaço deixado pela queda do ramo.

- a) Cite e caracterize os tipos de tecidos que promovem a sustentação e a flexibilidade dos ramos e caules.
- b) Como se dão o surgimento e o crescimento do novo ramo em plantas danificadas pelo vento?

Resolução (será considerado apenas o que estiver dentro deste espaço).

Não destacar esta folha

RASCUNHO